

## II-24 鉛直噴流による洗掘に関する二三の実験

名古屋工業大学	正員	橋 本 現 明
京都大学防災研究所	正員	上 屋 義 人
名古屋工業大学	学生員	清 水 孝 一
同 上		広 本 文 泰
同 上		齊 藤 正 勝

### 1. 緒言

噴流による局部洗掘に関する研究は、鉛直噴流の場合 Abbottson, Rouse, 粟津, Smith, 岩垣らにより、また水平噴流の場合 Laursen や著者らによってそれぞれ各自の立場からその現象の解明に着手すべく進められてきたが、局所的に発達する大さな乱れのために、その適確な水理学的考察は困難といわねばならぬ現状のようである。ここで述べる研究もそうした現象に対する水理学的考察の一端であって、鉛直噴流による洗掘とそれに水たたきを設けた場合の水について行なった結果についてその概要を説明することとする。

### 2. 鉛直噴流による洗掘

まず二次元の鉛直噴流の場合について考えよう。岩垣らの研究と同様に洗掘に対する連続方程式と鉛直噴流の拡散特性に基づいて、噴流の中心附近における着目して洗掘深さの時間的変化をめらかに関係を導けば、つきのようにある。

$$\frac{\partial \eta}{\partial t} + f_1(\eta, \xi) \left\{ 1 + f_2(\eta, \xi) \frac{\partial \eta}{\partial \xi} \right\} = 0, \quad \text{ここで } f_1(\eta, \xi) = -\frac{Kd}{(1-\alpha)V_s^{2m}B_0V_0} \left( A\alpha\beta V_0 \frac{b}{B_0} \right)^2 \frac{\xi^2}{\eta^3} - U_c^{*2} \left\{ \frac{m-1}{(2m+1)} \left( A\alpha\beta V_0 \frac{b}{B_0} \right)^2 \frac{\xi^2}{\eta^3} - U_c^{*2} \right\} \left( A\alpha\beta V_0 \frac{b}{B_0} \right) / \eta^2, \quad f_2(\eta, \xi) = -(3z) \frac{\partial \eta}{\partial \xi} \quad \dots \dots (1)$$

ここで  $K = (b-z)/B_0$ ,  $\xi = x/b$ ,  $t = V_0 t/b$ ,  $b$ : 噴流から砂面までの距離,  $z$ : 鉛直上方と,  $z$ : 洗掘深さ,  $V_0$ : 噴流出口の流速,  $t$ : 時間,  $B_0$ : 噴流の幅,  $V_s^2 = (\gamma/\gamma_f - 1)gd$ ,  $g$ : 重力の加速度,  $d$ : 砂礫の大きさ,  $\gamma/\gamma_f$ : 比重,  $\alpha$ : 積隙率と 100 の割合,  $\beta$ : 値,  $U_c^*$ : 限界摩擦速度, であり, その他は通常と仮定されねばならない実験定数である。(1)式の解はつきのようにある。  

$$\left( \frac{b-z}{B_0} \right)^{3m} \left\{ \left( \frac{b-z}{B_0} \right)^{\frac{3}{2}} - \left( \frac{b}{B_0} \right)^{\frac{3}{2}} \right\} = \frac{5}{2} \frac{(2m+1)K(A\alpha\beta)^{2m+1}}{(1-\alpha)} \left( \frac{1}{B_0} \right) \left( \frac{b}{V_0} \right)^{2m} \left( \frac{z}{b} \right)^{2m} \left( \frac{V_0 t}{B_0} \right) / 1 - \frac{1}{(A\alpha\beta)^2} \left( \frac{b}{B_0} \right)^2 / \frac{U_c^{*2}}{V_0^2}$$

$$\left( \frac{b}{z} \right)^2 \left( \frac{b-z}{B_0} \right)^3 \left\{ 1 - \frac{1}{(2m+1)(A\alpha\beta)^2} \left( \frac{B_0}{b} \right)^2 \left( \frac{U_c^*}{V_0} \right)^2 \left( \frac{b}{z} \right)^2 \left( \frac{b-z}{B_0} \right)^3 \right\} \quad \dots \dots (2)$$

またこの結果から、最終洗掘深さは、 $(b-z)/B_0 \sim \left( b/B_0 \right) \left( V_0/U_c^* \right)^{2/3}$  で与えられる。

つぎに三次元の鉛直噴流の場合には、砂面上の掃流力が限界掃流力より十分大きい場合に対して、洗掘深さの時間的変化は次式であらわされる。

$$\left( \frac{b-z}{D_0} \right)^3 \left\{ 1 - \left( \frac{b}{b-z} \right)^{\frac{5m+3}{m+1}} \right\} = \frac{2K(5m+3)(A\alpha\beta)^{2m+1}}{(1-\alpha)} \left( \frac{x}{b} \right)^2 \left( \frac{b}{D_0} \right)^{2m} \left( \frac{V_0}{V_s} \right)^{2m} \left( \frac{d}{D_0} \right) \left( \frac{V_0 t}{D_0} \right) \quad \dots \dots (4)$$

ここに、 $D_0$ : 噴流出口の直径,  $x$ : 噴流中心からの距離, であり, その他(2)式中の記号に従うが,  $\beta$  も実験定数である。また最終洗掘深さは二次元の場合と同様に考察にすれば,

$(b-\bar{z})/D_0 \approx \{(b/D_0)(V_0/U_0^*)\}^{1/2}$  ……(5) であらわされることになる。つきに二、三の実験結果について述べよう。まず図-1はこの実験に用いた砂礫の粒度分布を示したものである。図-2は二次元噴流による洗掘形状をその代表的な長さとして最大洗掘深さと用いてあらわした結果の一例であるが、この他の場合においてもほとんど同様な結果がえられた。つきに図-3は(3)式に基づいて洗掘深さの時間的変化を考察した結果であるが、これから洗掘の初期においては確かに(3)式の関係が成立していることわかる。ただし、(4)式中の定数  $m$  の値は近似的に  $m=2$  としよが、この程度の値は最も実験結果に適合するようである。なお、(2)式に基づいて二次元噴流の場合を考察した結果については講演時に説明するつもりでありますから、以下にこゝに記述する関係に支配されよう。図-4は(3)式に基づいて二次元噴流の場合の最終洗掘深さを考察した結果であって、図中の直線は実験に最も適合する。さうに引いた関係であるが、これは(3)式であらわされた関係にかなり近いことわかる。Circular jetの場合に対する(5)式を検討した結果もよくこうした関係を満足している。この他の実験結果については講演時に説明するつもりでありますから、噴流による洗掘現象を考察した結果によれば、極めて多くの未知の現象が存在することひきうるであろうが、一端このさうな取扱いの上に考察を進めていくことは十分有意義であると考えられる。

### 3. Armorplateを置いた場合の鉛直噴流による洗掘

これは鉛直噴流による洗掘を防止するため、噴流の中心部に水たまりの一種であるいわゆる armorplate を置いた場合を対象とする。このさうな洗掘の大きさの特徴の一つは、一つの壁面に沿って流れが拡散するところであり、またとくに洗掘孔内には水平軸をもつた局所的に発達する渦の現象を大きく支配するといふことができる。これと極めてよく類似した現象として水平噴流による洗掘現象をあげることはできる。著者一人は壁にかけこうと問題を明確にべく、すでに二、三の実験を行ない、主にその水理学的機構を解明する一つの試みとして、水平軸をもつ局所的渦の発生と発

図-1 実験砂の特性

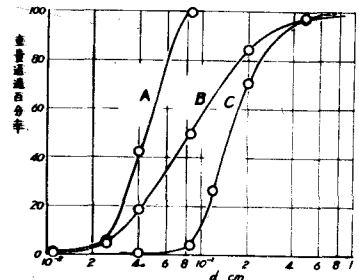


図-2. 洗掘形状の一例

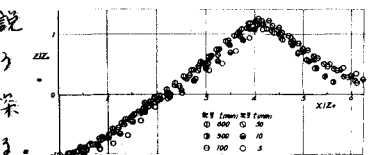


図-3. Circular jet の場合の洗掘深さの時間的變化

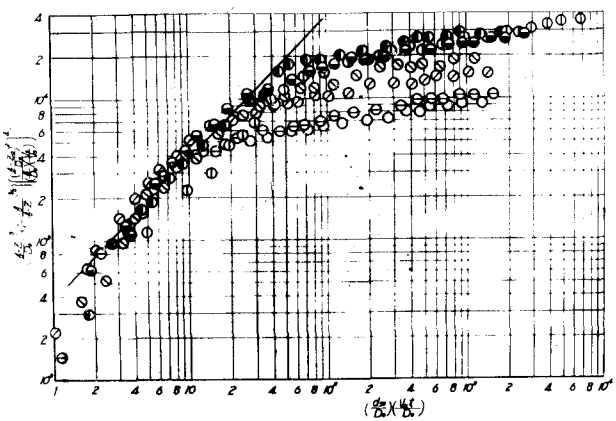
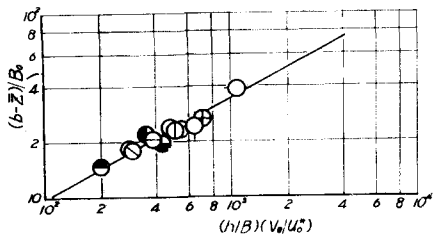


図-4. 二次元噴流の場合の最終洗掘深さ



達とく立脚して簡単な理論的考察を行なった。ミニでも、もう少し理論的考察を進めて、この現象を解明することを試みることにしよう。まず、洗掘形状の時間的変化とあらわす方程式を渦の発達に着目して、ささの研究と全く同様は仮定のかたにつくればつきのようになる。

$$\frac{\partial \eta}{\partial t} - \frac{K(2m+1)KA^{2m+1}}{2\pi(1-\lambda)} \eta \left( \frac{\bar{U}_0}{V_s} \right)^{2m} \left\{ A + \frac{K\eta}{2\pi\sqrt{(\lambda\eta_0 - \zeta)^2 + (\beta\eta_0 + \eta)^2}} \right\}^{2m}$$

$$\left\{ (\lambda\eta_0 - \zeta) + (\beta\eta_0 + \eta) \right\}^{\frac{1}{2}} \left\{ (\lambda\eta_0 - \zeta) - (\beta\eta_0 + \eta) \frac{\partial \eta}{\partial z} \right\} = 0 \quad \dots \dots \dots (6)$$

ここで、 $\eta = z/d$ ,  $\eta_0 = z_0/d$ ,  $\zeta = x/d$ ,  $t = \bar{U}_0 t/d$ ,  $z$ : 最大洗掘深さ,  $\bar{U}_0$ : 水中ビームの先端における最大流速であって、土屋らの実験によれば、近似的に  $\bar{U}_0/V_{max} = 0.5405/(0.0628 + \zeta^2)$  であるえられ  $\zeta = x/b$ ,  $V_{max}$ : 距離  $b$  における噴流の中心最大流速であり、その他は通常の定数である。

(6)式に基づいて水平噴流の場合と同様に考察を行なえば、最大洗掘深さに対する、結局つきの関係が成立することになる。

$$\frac{z_0}{d_{50}} = F \left\{ \left( \frac{U_0}{V_s} \right)^{2m} \left( \frac{U_0}{d} \right), \frac{U_0}{U_1}, \dots \right\} \dots \dots \dots (7)$$

つきに、この関係に基づいて実験結果を整理し、水平噴流の場合と比較検討した結果について述べる。まずこの場合においても洗掘形状は図-5に示したよろと、水平噴流の場合と同様、 $z_0$ を代表的な長さとしてあらわされる。図-3は既にあげた砂礫の大きさの効果を(7)式に基づいて検討した結果である。水平噴流の場合と同様につきの関係によるものと認められることがわかる。つきに図-6は図-5の結果を用いて最大洗掘深さの時間的変化を考察した結果であるが、実験結果は非常にバラつてゐるところれども、やはりつきの関係によつて統一的にあらわされることがわかるであろう。また図-7は最終洗掘深さについて検討した結果である。図中に水平噴流による洗掘の場合を比較のために示したが、これがつきのことかわかるであります。すなはり、水平噴流の場合に較べて若干実験結果がばらつてゐるが、ほぼつきの関係によつてあらわされ、船首噴流の場合の方が  $U_0/U_1$  の増加による  $z_0/d_{50}$  の減少が若干激しいことがある。

以上述べた成果は実験結果が十分とはいいかなく、今後の研究に待つべきものが極めて多いので、今後詳細な実験をさらに進めて、つきに局所洗掘の機構を解明すべく努力したいと考えている。

図-5.  $(z_0/d_{50})_0$  と  $U_0/U_1$  の関係

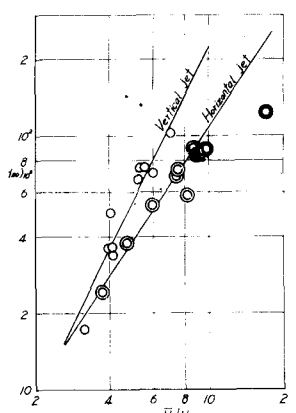


図-6. Armorplateを置いた場合の洗掘深さの時間的変化

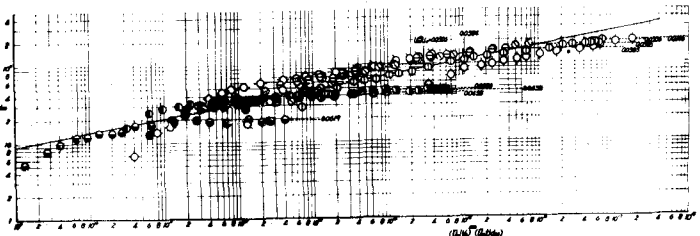


図-7. Armorplateを置いたときの最終洗掘深さ

Two-dimensional horizontal jet

